

П. П. ЗОЛОТАРЕВ, А. И. КАЛИНИЧЕВ

О СТАЦИОНАРНОЙ СТАДИИ НЕРАВНОВЕСНОЙ ДИНАМИКИ  
АДСОРБЦИИ

(Представлено академиком М. М. Дубининым 27 I 1971)

Режим стационарного фронта для выпуклой изотермы описывается (1-3) уравнениями

$$\frac{dc}{dz} = \frac{v}{D} \left( \frac{a_0}{c_0} c - a \right), \quad u = \frac{uc_0}{a_0 + c_0}, \quad z = x - vt, \quad (1)$$

$$-v da / dz = \psi(a, c); \quad c(-\infty) = c_0, \quad a(-\infty) = a_0,$$

$$c(\infty) = a(\infty) = 0, \quad (2)$$

где  $c$  и  $a$  — концентрации адсорбата в подвижной и неподвижной фазах,  $v$  — скорость потока,  $D$  — коэффициент продольной диффузии. В качестве уравнения кинетики (2) часто используют (1, 2) выражение

$$\partial a / \partial t = \beta [c - \varphi(a)], \quad -v da / dz = \beta [c - \varphi(a)], \quad (3)$$

где  $c = \varphi(a)$  — уравнение изотермы ( $a = f(c)$ ). Уравнение (3) справедливо в первую очередь тогда, когда лимитирующая стадия кинетики — внешний массообмен. Если, наоборот, кинетика адсорбции лимитируется внутренней диффузией, то рекомендуется (4, 5) применять другое приближенное уравнение

$$\partial a / \partial t = \beta_* [f(c) - a], \quad -v da / dz = \beta_* [f(c) - a]. \quad (4)$$

Выражение (4) следует и из (6), где исследовалась внутридиффузионная кинетика.

1. Случай внутридиффузионной кинетики часто встречается на практике. Поэтому представляет интерес провести исследование выражений (1), (2), (4).

Разделив (4) на (1), получим

$$\frac{da}{dc} = -\delta \frac{a_0}{c_0} \frac{[f(c) - a]}{(a_0/c_0)c - a}, \quad \delta = \frac{\beta_* D}{u_2} \frac{(a_0 + c_0)^2}{c_0 a_0}; \quad c = 0, a = 0; \quad c = c_0, a = a_0. \quad (5)$$

Представим интегральную кривую (5) в виде

$$a(c) = (a_0/c_0)c + y(c). \quad (6)$$

Подставляя (6) в (5), имеем

$$y \frac{dy}{dc} + \frac{a_0}{c_0} (1 + \delta) y - \frac{a_0}{c_0} \delta \left[ f(c) - \frac{a_0}{c_0} c \right] = 0, \quad (7)$$

$$c = 0, \quad y = 0; \quad c = c_0, \quad y = 0. \quad (8)$$

Если  $D \rightarrow 0, \delta \rightarrow 0$ , то из (5) — (8) получаем

$$y = 0, \quad a(c) = (a_0/c_0)c. \quad (9)$$

В другом предельном случае при  $\beta_* \rightarrow \infty, \delta \rightarrow \infty$  имеем

$$y(c) = f(c) - (a_0/c_0)c, \quad a(c) = f(c). \quad (10)$$

При конечном  $\delta$  (конечных  $\beta_*$ ,  $D$ ) интегральная кривая (5) лежит между (9) и (10)

$$(a_0/c_0)c \leqslant a(c) \leqslant f(c). \quad (11)$$

Точки (8) будут особыми для уравнения (7). Используя известную методику <sup>(7)</sup>, легко найти касательные к  $y(c)$  в этих точках. Так для ( $c=0$ ,  $y=0$ ) имеем

$$y = B_1 c, \quad a(c) = (a_0/c_0)c + B_1 c, \quad c \rightarrow 0, \quad (12)$$

$$B_1 = a_0/2c_0(1+\delta) \left[ \left\langle 1 + \frac{4c_0\delta(\gamma_1 - a_0/c_0)}{a_0(1+\delta)^2} \right\rangle^{1/2} - 1 \right], \quad \gamma_1 = (df/dc)_{c=0}, \quad B_1 > 0. \quad (13)$$

Аналогичным образом может быть получено выражение для коэффициента  $B_2$  касательной

$$y = B_2(c - c_0) \text{ в } (c = c_0, y = 0).$$

При условии

$$[4c_0\delta(\gamma_1 - a_0/c_0)/a_0(1+\delta)^2] \ll 1$$

из (13) приближенно получаем

$$B_1 \approx \frac{\delta(\gamma_1 - a_0/c_0)}{(1+\delta)}. \quad (14)$$

При  $\delta \rightarrow 0$  ( $D \rightarrow 0$ ) и  $\delta \rightarrow \infty$  ( $\beta_* \rightarrow \infty$ ), используя (9) и (10), получаем такое распределение концентрации  $c$  по слою

$$z(c) = \frac{v a_0}{c_0 \beta_*} \int \frac{dc}{(a_0/c_0)c - f(c)} + A; \quad z(c) = \frac{D}{v} \int \frac{dc}{(a_0/c_0)c - f(c)} + A. \quad (15)$$

В общем случае (1), (2), (3) нужно решать численно. В первом грубом приближении искомые кривые  $y(c)$ ,  $a(c)$  можно заменить ломаной, составленной из отрезков касательных, проведенных из точек  $(0, 0)$  и  $(c_0, a_0)$ .

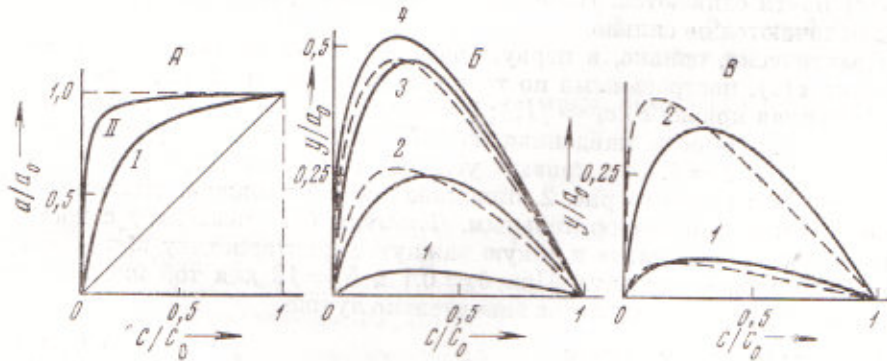


Рис. 1

2. Может быть также предложена плавная кривая, аппроксимирующая  $y(c)$  и  $a(c)$ :

$$y(c) \approx y_1(c) = \frac{\delta [f(c) - (a_0/c_0)c]}{1+\delta}; \quad a(c) \approx a_1(c) = (a_0/c_0)c + y_1(c). \quad (16)$$

Видно, что  $a_1(c)$  удовлетворяет условиям (5), (8), (11). При  $\delta \rightarrow 0$  и  $\delta \rightarrow \infty$  из нее получаются (9), (10). Подставляя (16) в (11) имеем

$$z(c) = \frac{D_*}{v} \int \frac{dc}{(a_0/c_0)c - f(c)} + A; \quad D_* = D(1 + 1/\delta) = D + \frac{c_0}{a_0 \beta_*} u^2. \quad (17)$$

Из (17) при  $\delta \rightarrow 0$  и  $\delta \rightarrow \infty$  получаем (15). Интеграл в (17) легко берется, если заменить  $f(c)$  ломаной из  $n$  ( $n \geq 2$ ) звеньев<sup>(5)</sup>.

Анализ показывает, что  $y_1(c)$ , вообще говоря, совпадает с  $y(c)$  в трех точках: ( $c = 0$ ,  $c = c_0$ ) и некоторой промежуточной точке  $c = c_*$ , где  $dy/dc = 0$ . В остальных точках « $c$ » отклонение  $y$  от  $y_1$  тем меньше, чем меньше величина

$$\varphi = y_1 dy_1/dc = \delta^2 (df/dc - a_0/c_0) [f(c) - (a_0/c_0)c] / (1 + \delta)^2. \quad (18)$$

Из (18) видно, что  $\varphi$  мало во всей области  $(0, c)$ , если  $a$  мало; б) изотерма искривлена слабо (см. также (14)). Следовательно, (16), (17) лучше всего выполняются при небольших  $\delta$  для не очень сильно искривленных изотерм, что согласуется с<sup>(3, 8)</sup>. В указанном приближении имеет место аддитивность эффектов продольной диффузии и кинетики. Выражение (17) совпадает с соответствующей формулой равновесной динамики адсорбции при значении  $D = D_*$ .

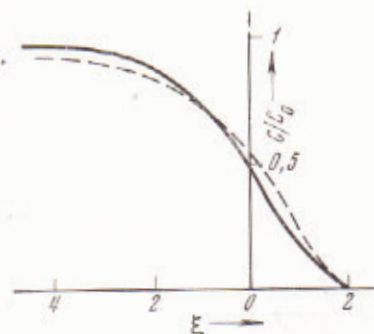


Рис. 2

3. Для количественной оценки применимости приближения (16), (17) были проведены численные расчеты для ленгмюровских изотерм I и II, изображенных на рис. 1A. На рис. 1B и 1В приведены графики точных зависимостей ( $y/a_0 = f(c/c_0)$ ) для этих изотерм (сплошные линии) при  $\delta = 0,1, 1$  и  $10$  (кривые 1—3 соответственно). Пунктирными линиями обозначены зависимости  $y_1(c)$  (16). Кривая 4 (рис. 1Б) — зависимость (10) при  $\delta \rightarrow \infty$ .

Видно, что выбранный интервал  $0,1 — 10$  достаточно хорошо представляет весь диапазон изменения  $\delta$ . Кривые  $y(c)$  и  $y_1(c)$  хуже всего согласуются при  $\delta = 1$  для

близкой к прямоугольной изотерме II. При  $\delta = 0,1$  для изотермы I  $y(c)$  и  $y_1(c)$  почти сливаются. Площади под кривыми  $y(c)$  и  $y_1(c)$  во всех случаях отличаются не сильно.

Практически, однако, в первую очередь важно знать разницу между кривыми  $c(z)$ , построенными по точному решению и (17). На рис. 2 приведена точная кривая  $c/c_0 = f(\xi)$ ;  $\xi = va_0z/Dc_0$  (сплошная линия) и аналогичная зависимость, найденная из (17) (пунктир) для худшего случая изотермы II и  $\delta = 1$ . Эти кривые условно совмещены при  $c/c_0 = 5 \cdot 10^{-3}$  («нуле»). Как видно из рис. 2, приближение по площади, даваемое (17), можно считать удовлетворительным. Формула (17) позволяет с достаточной точностью определить и такую важную характеристику как длина работающего слоя адсорбента. При  $\delta = 0,1$  и  $\delta = 10$  для той же изотермы, как показали расчеты, согласие значительно лучше.

Институт физической химии  
Академии наук СССР  
Москва

Поступило  
14 I 1971

#### ЦИТИРОВАННАЯ ЛИТЕРАТУРА

- <sup>1</sup> О. М. Тодес, Я. М. Биксон, ДАН, 75, 727 (1950); Я. М. Биксон, ЖФХ, 27, 1530 (1953). <sup>2</sup> В. В. Рачинский, Введение в общую теорию динамики сорбции и хроматографии, «Наука», 1964. <sup>3</sup> П. П. Золотарев, ДАН, 193, 622 (1970).
- <sup>4</sup> F. Giesecke et al., Trans. Farad. Soc., 51, 1540 (1955). <sup>5</sup> Дж. Перри, Справочник инженера-химика, 1, Л., 1969. <sup>6</sup> П. П. Золотарев, Л. В. Радушкевич, ЖФХ, 43, 754 (1969). <sup>7</sup> Г. Корн, Т. Корн, Справочник по математике, «Наука», 1968.
- <sup>8</sup> П. П. Золотарев, III Всесоюзная конфер. по теоретическим вопросам адсорбции, Тез. докл., 2, «Наука», 1970, стр. 78.